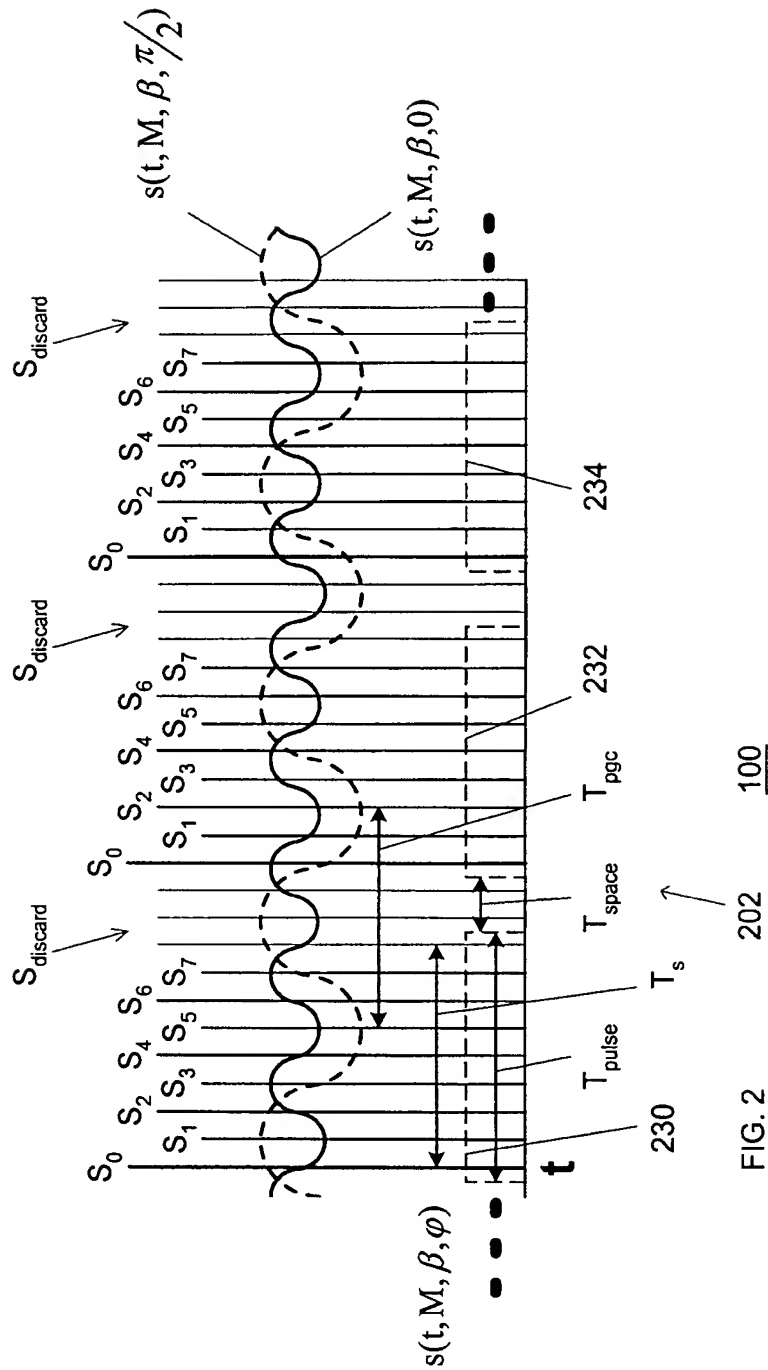


FIG. 1



$Q_j, y = 3$ $I_k, z = 1$	$S_n, x = 7$							
	$S_0$	$S_1$	$S_2$	$S_3$	$S_4$	$S_5$	$S_6$	$S_7$
$Q_0$	+				-			
$Q_1$		+				-		
$Q_2$			+				-	
$Q_3$				+				-
$I_0$	+		-		+		-	
$I_1$		+		-		+		-

FIG. 3



302

100

$Q_j, y = 7$ $l_k, z = 3$	$S_n, x = 15$															
	$S_0$	$S_1$	$S_2$	$S_3$	$S_4$	$S_5$	$S_6$	$S_7$	$S_8$	$S_9$	$S_{10}$	$S_{11}$	$S_{12}$	$S_{13}$	$S_{14}$	$S_{15}$
$Q_0$	+								-							
$Q_1$		+								-						
$Q_2$			+								-					
$Q_3$				+								-				
$Q_4$					+								-			
$Q_5$						+								-		
$Q_6$							+								-	
$Q_7$								+								-
$l_0$	+				-				+				-			
$l_1$		+				-				+				-		
$l_2$			+				-				+				-	
$l_3$				+				-				+				-

FIG. 4

↑ 100

402

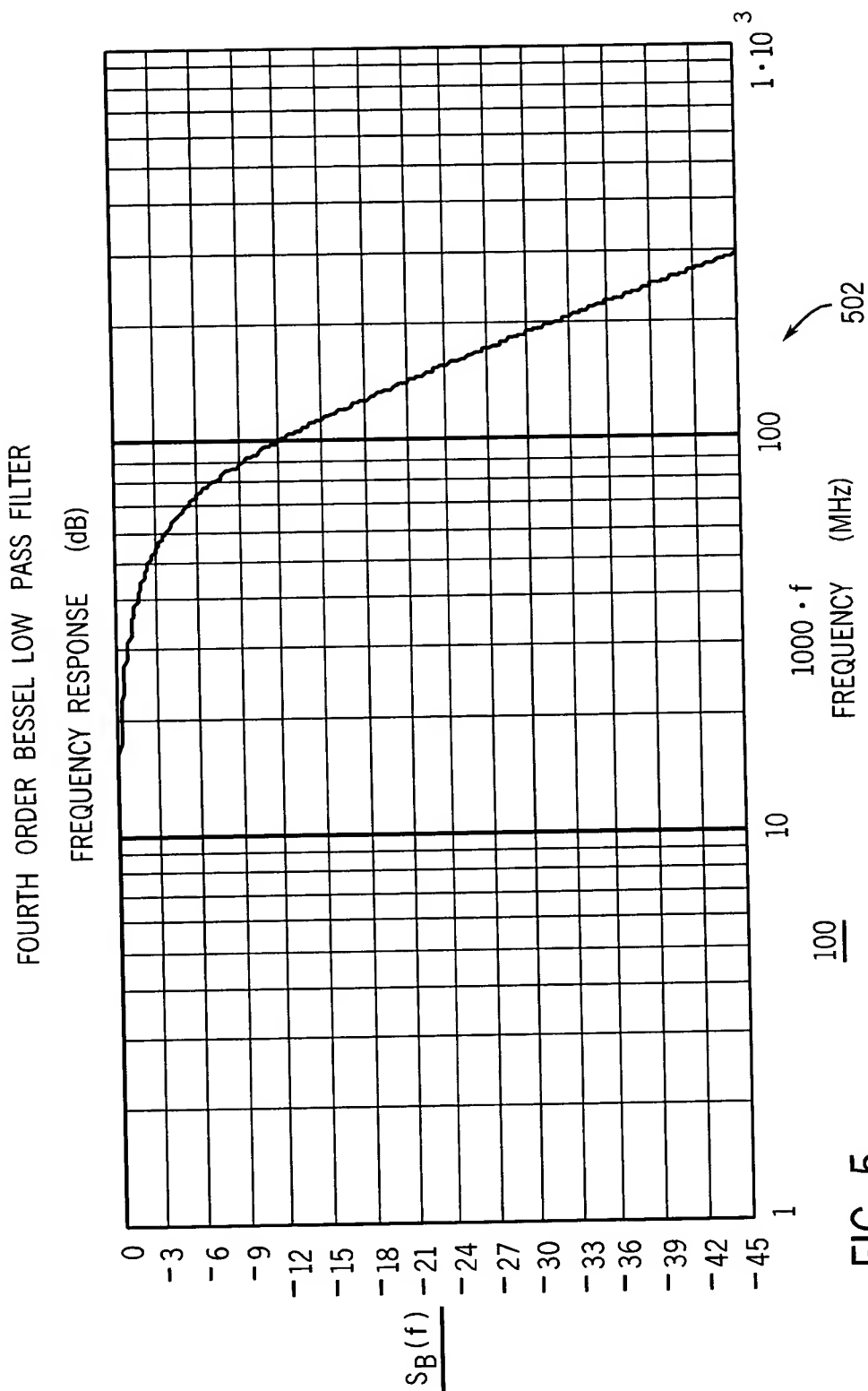


FIG. 5

# FOURTH ORDER BESSEL LOW PASS FILTER

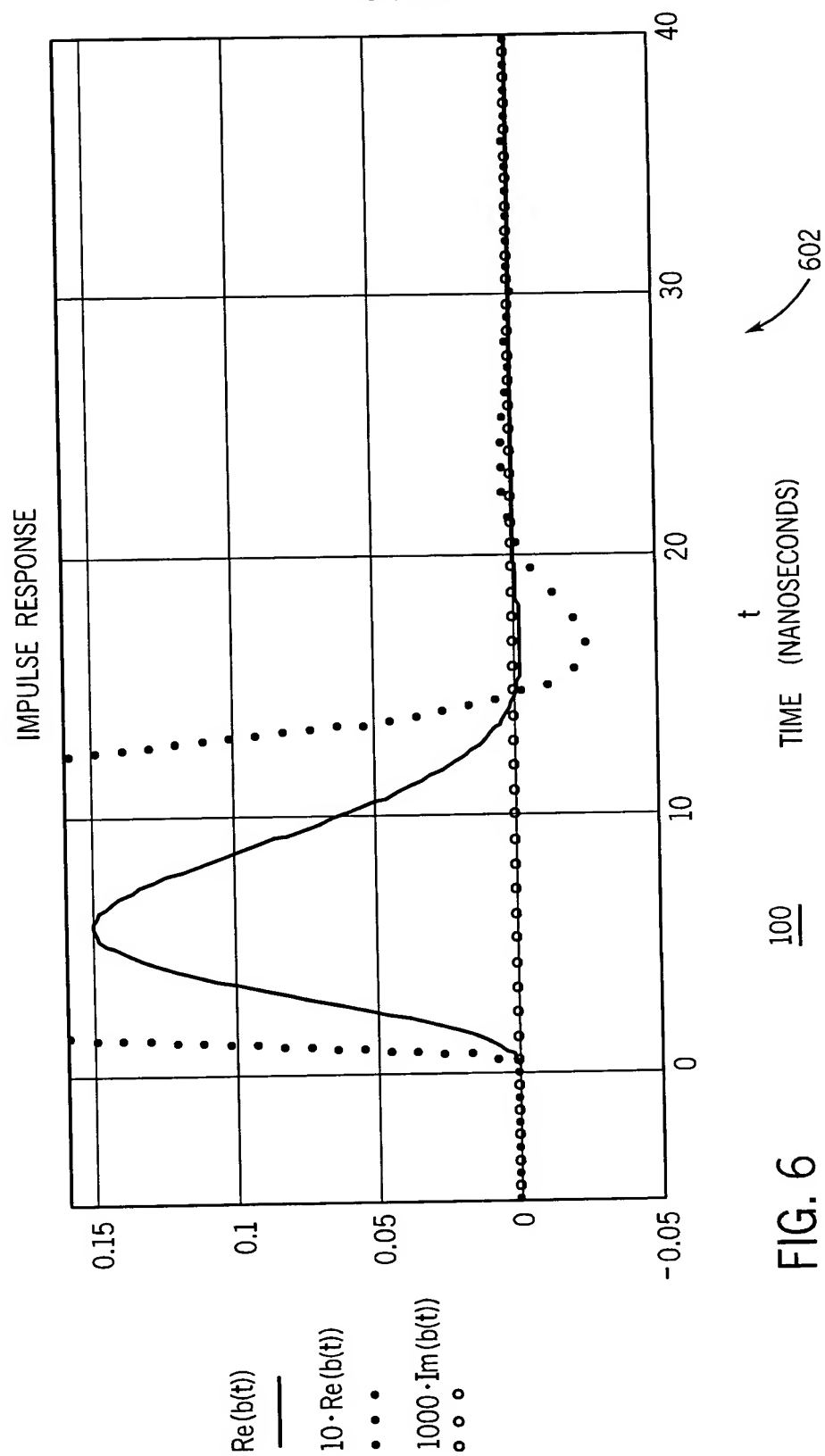


FIG. 6

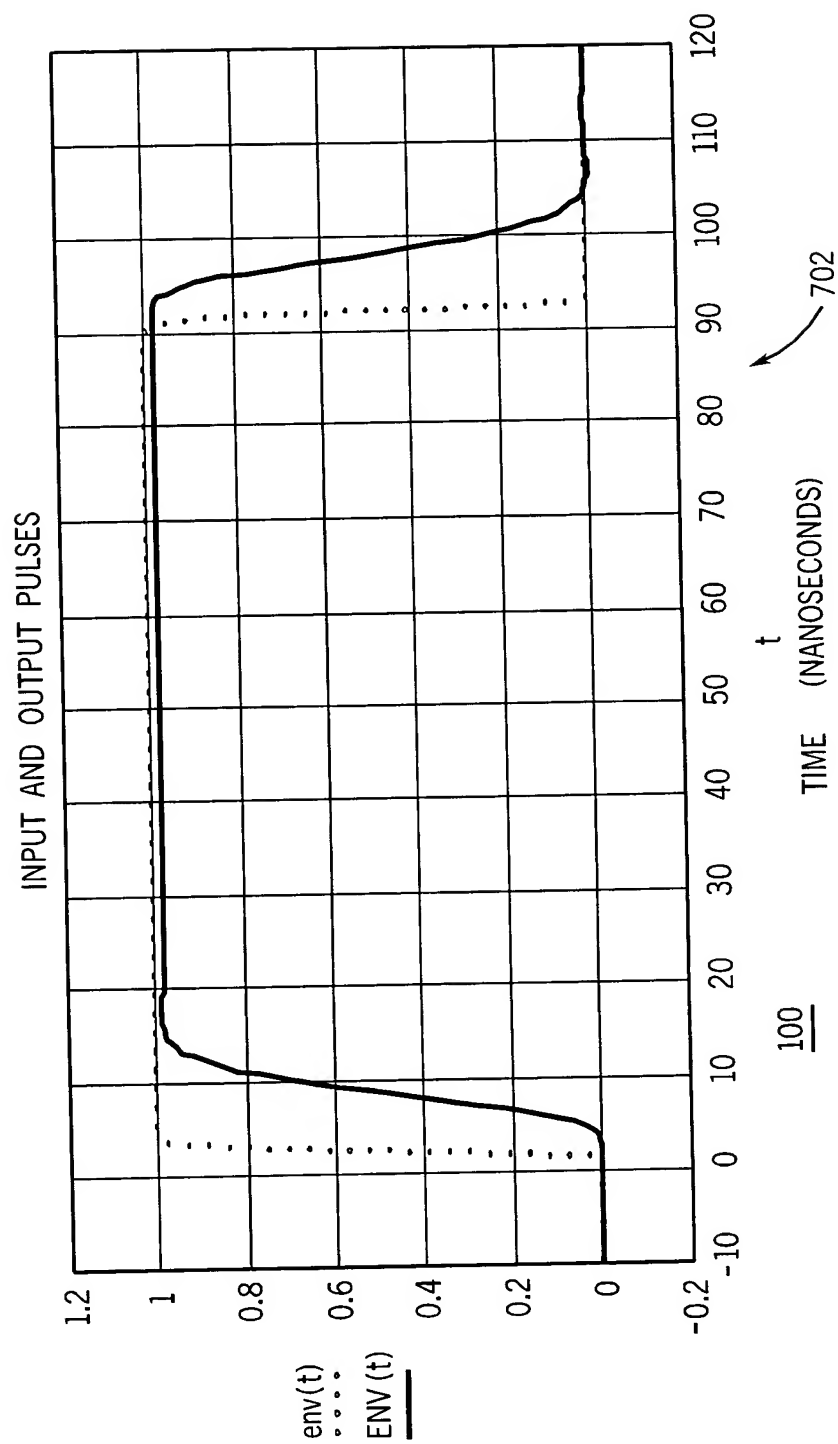


FIG. 7

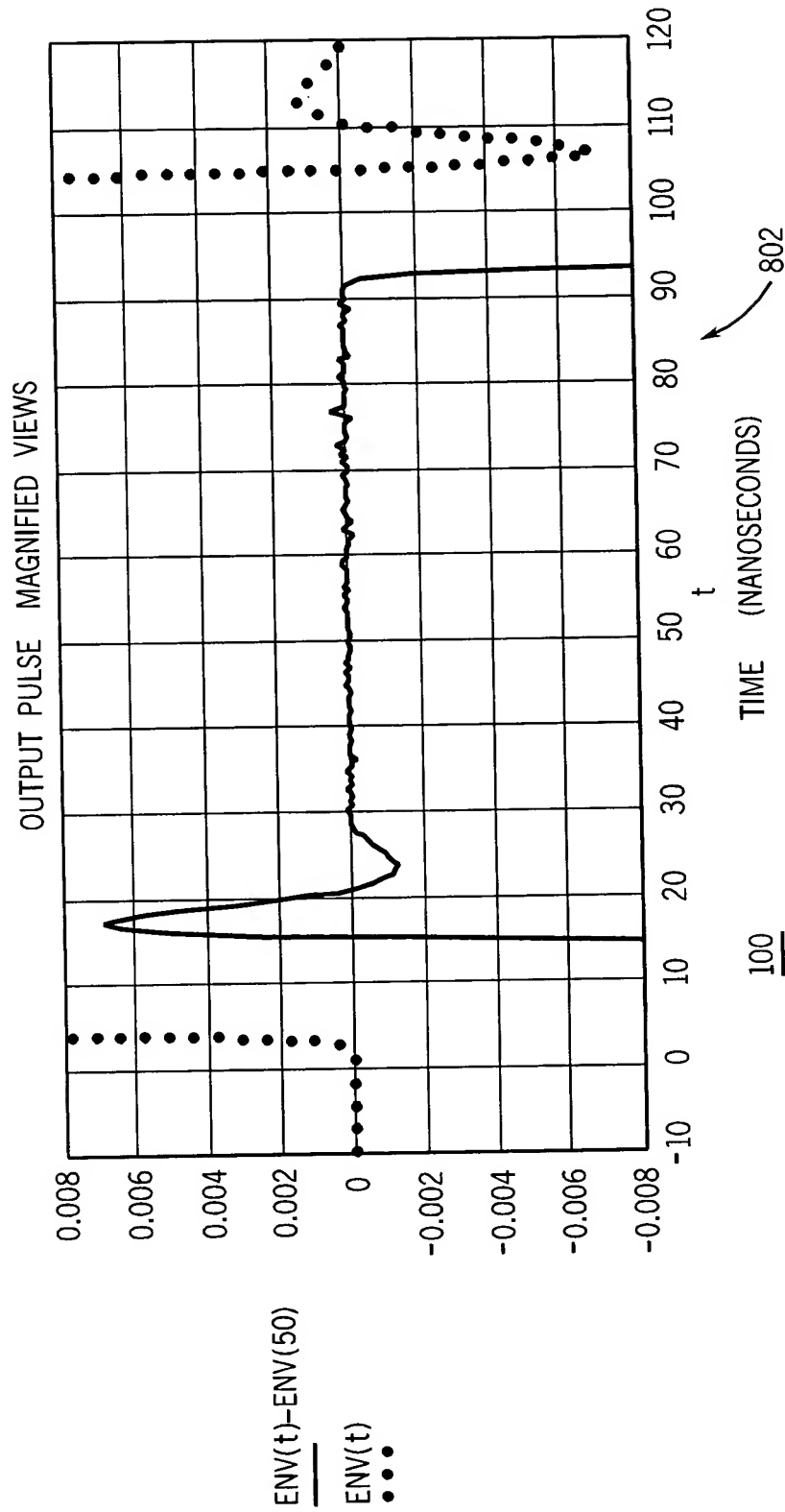
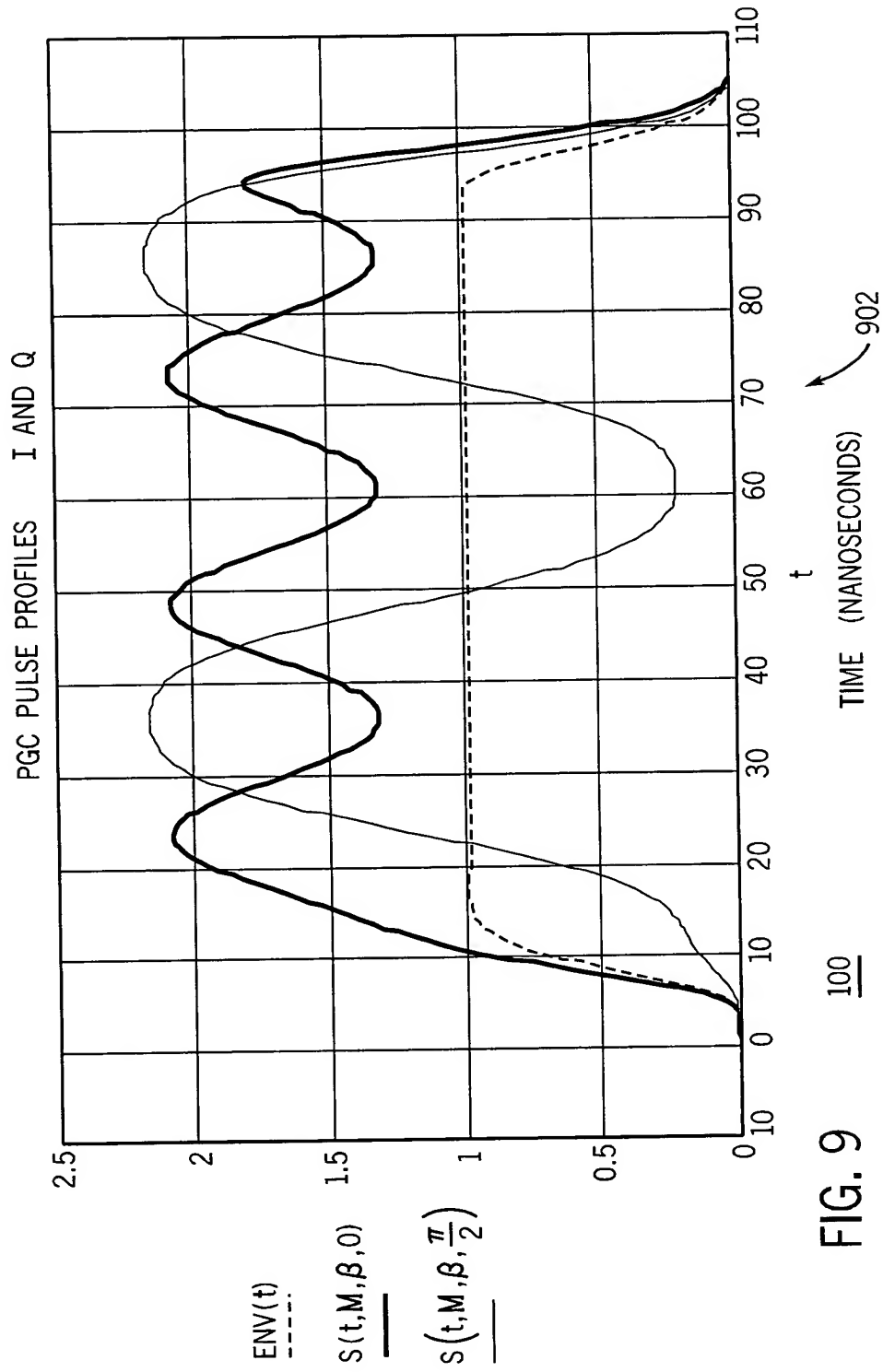


FIG. 8





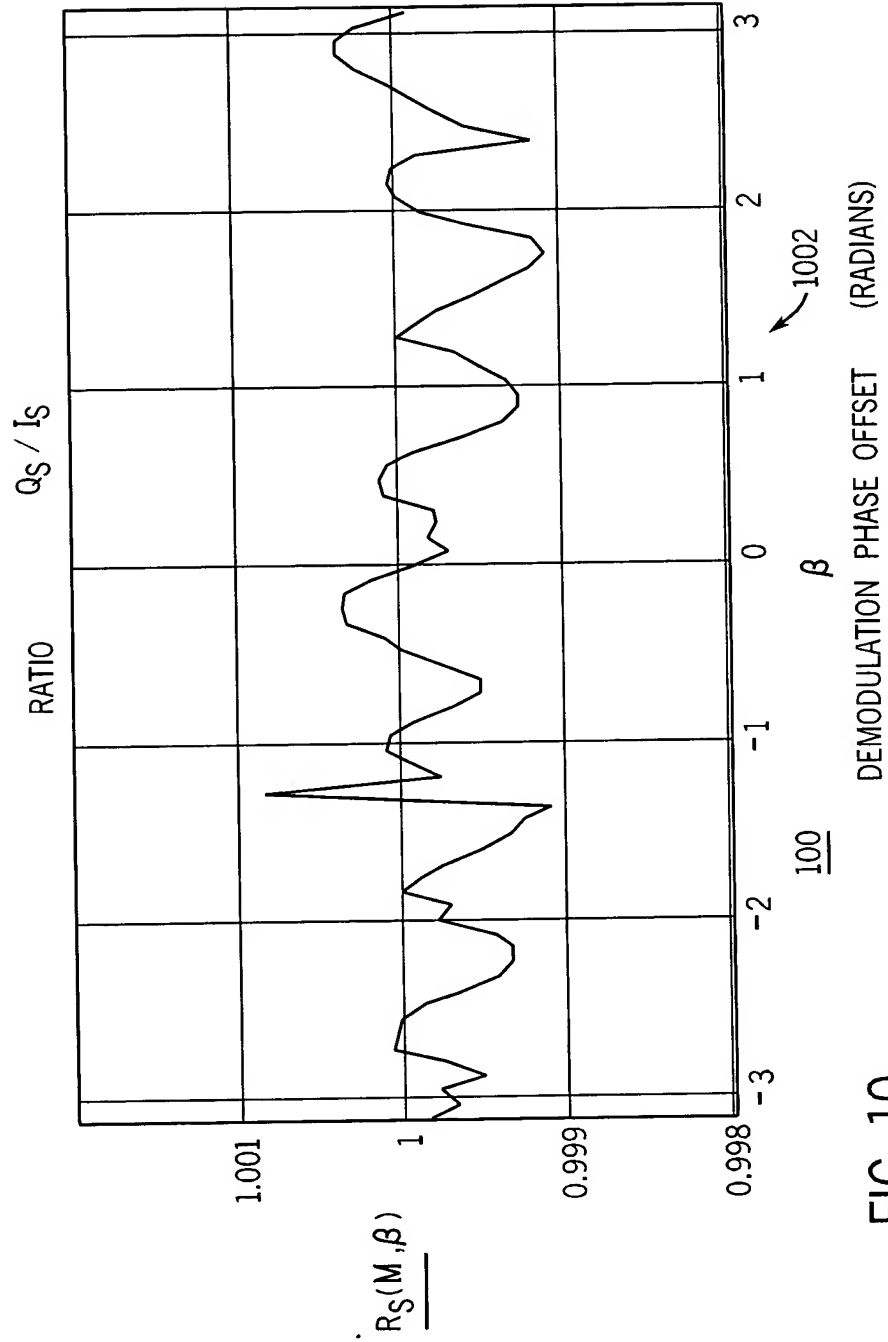


FIG. 10

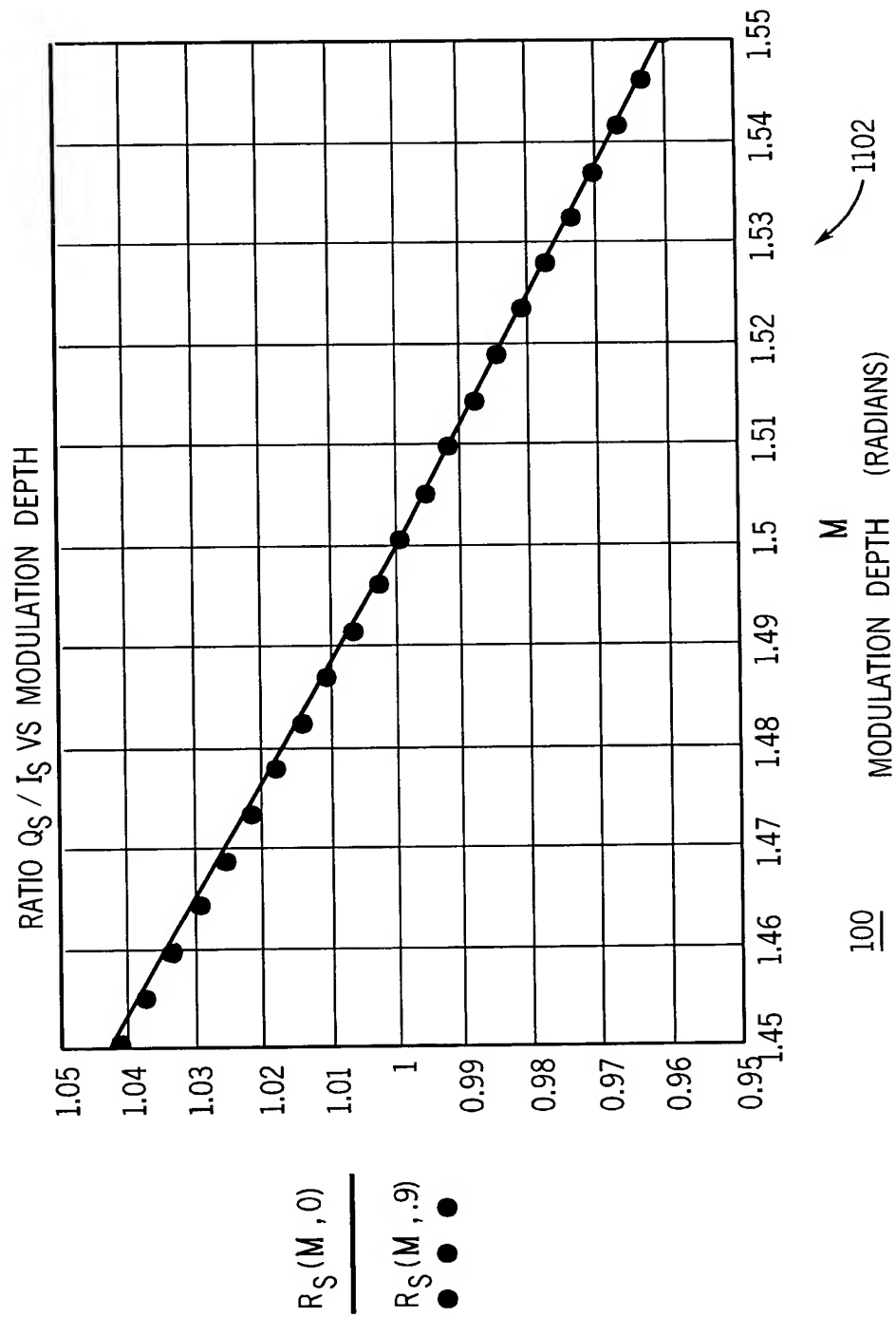


FIG. 11

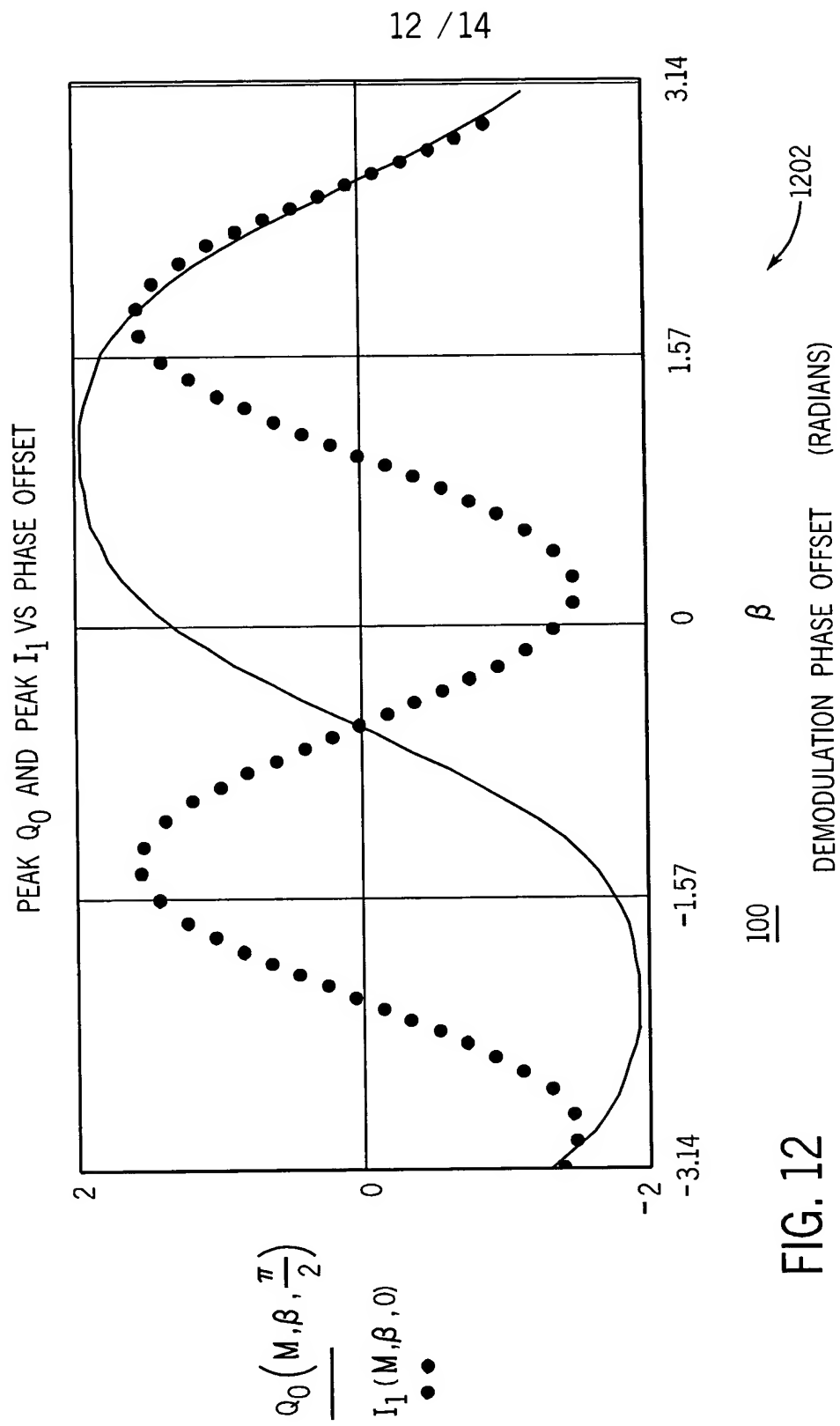


FIG. 12

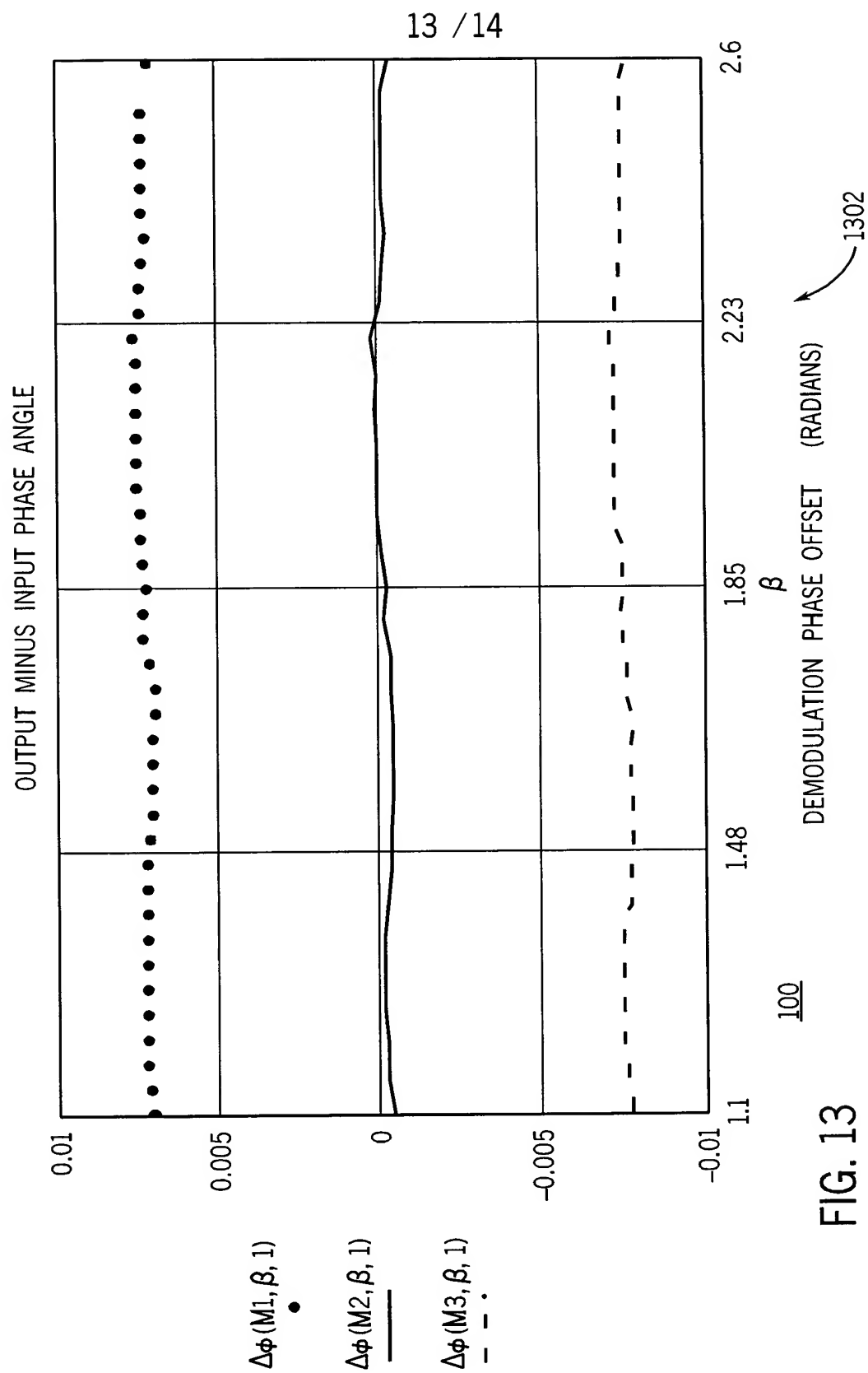


FIG. 13

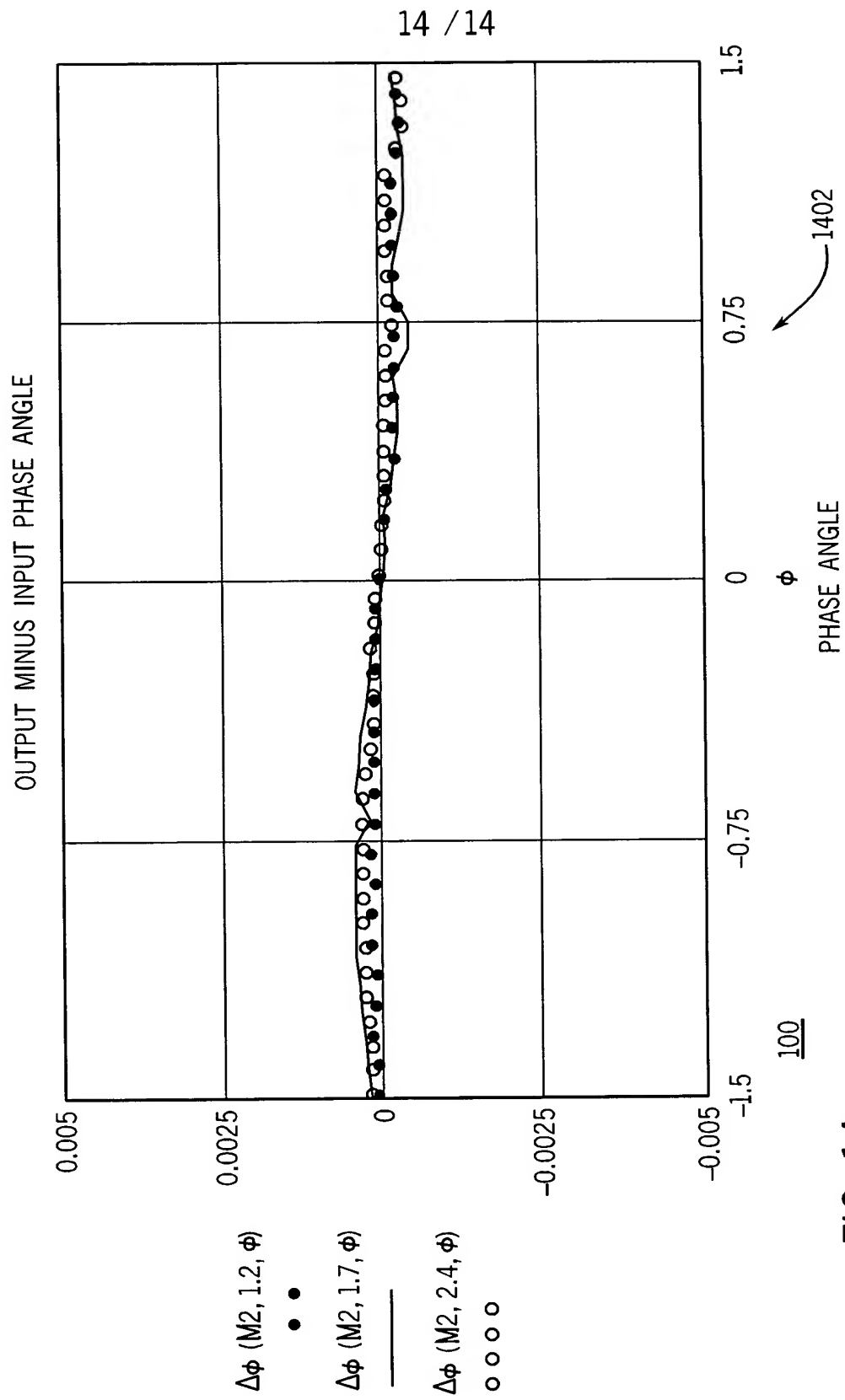


FIG. 14